

KG チェインについて

佐々木 裕

東亜合成株式会社

February 21, 2018

KG 鎖の平衡シミュレーションの条件

長さの異なる KG 鎖の平衡シミュレーションの条件

- ▶ 初期緩和：

τ_{E2E} の 20 倍程度

- ▶ 本計算：

$0.1 \times \tau_{E2E} \times 800$ ステップ

それぞれの長さの場合の計算条件を示した。

Seg.	本数	τ_{E2E}	Init. Relux. (τ)	Main (τ)
10	200	1.0E2	1.0E4	1.0E1 \times 800 steps
20	200	4.1E2	5.0E4	5.0E2 \times 800 steps
30	200	1.1E3	1.0E5	1.0E2 \times 800 steps
40	200	1.9E3	2.0E5	2.0E2 \times 800 steps
50	200	3.6E3	4.0E5	4.0E2 \times 800 steps

平衡シミュレーションの結果

長さの異なる KG 鎖の平衡シミュレーションの結果を以下に示した。

Seg.	Bonds	Ave. Bond Len.	$\langle R^2 \rangle$	C_N
10	9	0.965	13.0	1.55
20	19	0.965	29.3	1.65
30	29	0.965	46.2	1.71
40	39	0.965	63.7	1.75
40	49	0.965	79.9	1.75

$$C_\infty = \frac{\langle R^2 \rangle}{Nb^2}$$

KG 鎖のポテンシャル

非結合ポテンシャル：ビーズ間に LJ ポテンシャル $U_{LJ}(r)$

$$U_{LJ}(r) = \begin{cases} 4\epsilon \left[\left(\frac{\sigma}{r} \right)^{12} - \left(\frac{\sigma}{r} \right)^6 + \frac{1}{4} \right] & r < 2^{1/6}\sigma \\ 0 & r \geq 2^{1/6}\sigma \end{cases}$$

ボンドポテンシャル：FENE-LJ ポテンシャル U_{FENE}

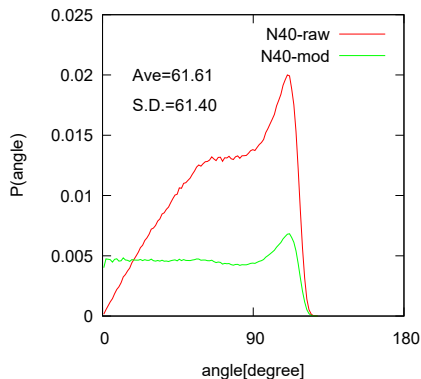
$$U_{FENE}(r) = \begin{cases} -\frac{K}{2} \frac{\epsilon R_0^2}{\sigma^2} \ln \left[1 - \left(\frac{r}{R_0} \right)^2 \right] & \text{if } r < R_0 \\ \infty & \text{otherwise} \end{cases}$$

なお、一般的なパラメタセットは、

$$\begin{cases} \epsilon = \sigma = 1 \\ R_0 = 1.5 \\ K = 30 \end{cases}$$

KG 鎖のアングル

- ▶ 生データをヤコビアンで処理したものと合わせて示した。
- ▶ ビーズ間の 1,3 位の反発により、アングルが規制されていた。
- ▶ 単純に算術平均した場合の値を図中に示した。



KG 鎖の特性比

1,3 位の反発をポテンシャルに基づき考慮すると、アングルの平均値は以下のように見積もれる。

$$\langle \cos(\theta) \rangle = \frac{\int_0^\pi d\theta \sin(\theta) \cos(\theta) \exp\left(-\frac{U_{LJ}(r(\theta))}{k_B T}\right)}{\int_0^\pi d\theta \sin(\theta) \exp\left(-\frac{U_{LJ}(r(\theta))}{k_B T}\right)} \simeq 0.274$$

$$\theta \simeq 74.1$$

したがって、

$$\langle R^2 \rangle = (N-1)b^2 \left(\frac{1 + \langle \cos(\theta) \rangle}{1 - \langle \cos(\theta) \rangle} - \frac{1}{N-1} \frac{2\langle \cos(\theta) \rangle (1 - \langle \cos(\theta) \rangle^{N-1})}{(1 - \langle \cos(\theta) \rangle)^2} \right)$$
$$\therefore C_N = \left(\frac{1 + \langle \cos(\theta) \rangle}{1 - \langle \cos(\theta) \rangle} - \frac{1}{N-1} \frac{2\langle \cos(\theta) \rangle (1 - \langle \cos(\theta) \rangle^{N-1})}{(1 - \langle \cos(\theta) \rangle)^2} \right)$$

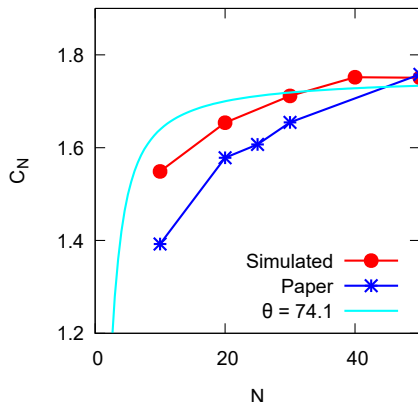
KG 鎖の特性比

長さの異なる KG 鎖の平衡シミュレーションの結果を以下に示した。

Seg.	Bond Len.	$\langle R^2 \rangle$	C_N
10	0.965	13.0	1.55
20	0.965	29.3	1.65
30	0.965	46.2	1.71
40	0.965	63.7	1.75
40	0.965	79.9	1.75

$$C_N = \frac{\langle R^2 \rangle}{Nb^2}$$

J.C.P. の論文記載のデータも併せて示した。



ボンドポテンシャル

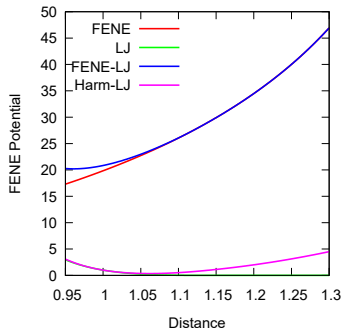
KG 鎖においてのボンドポテンシャルは、LJ
ポテンシャル U_{LJ} と伸びきりバネの FENE
ポテンシャル U_{FENE} との和である
 $U_{FENE-LJ}(r)$ を用いている。

$$U_{FENE-LJ}(r) = U_{LJ} + U_{FENE}$$

これを、伸びきりの無い線形バネポテンシャル U_{Harm} と組み合わせることもできる。

$$U_{Harm} = \frac{K}{2}(r - r_0)^2$$

$K = 100, R_0 = 1.0$ のポテンシャルも併せて示した。

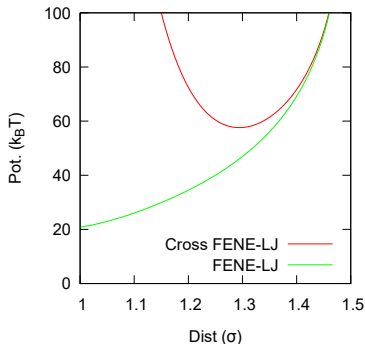


鎖の交差

$U_{FENE-LJ}(r)$ の二つのポテンシャルを設定することにより、KG 鎖においては鎖同士のすり抜けを抑制している。この抑制効果を、上述のポテンシャルからエネルギー的に確認しよう。

二本のポリマー鎖が、任意のボンドが直交するように接近した場合を考える。エネルギーバリアーが最大となる場合は、ボンドが直角に重なった場合と考えられるので、この時のボンド長を l とすると、異なる鎖に属するビーズ間の距離は、 $\frac{\sqrt{2}}{2}l$ となる。ボンドは二本あり、非結合相互作用は四個あるので、一本の鎖当たりでは、

$$U_{cross} = U_{FENE}(r = l) + 2 \times U_{LJ}(r = \frac{\sqrt{2}}{2}l)$$



したがって、鎖の交差に対するポテンシャルは、約 $60k_B T$ 程度と見積もれた。

やりたいこと

KG 鎖からのバリエーション

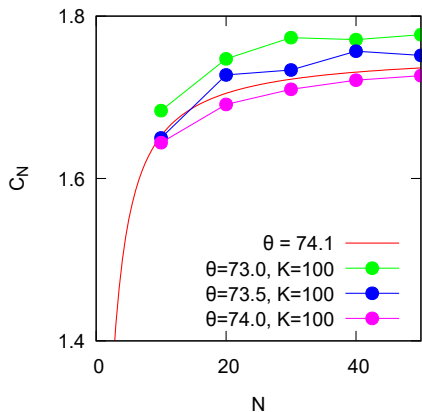
KG 鎖の特徴を残しながら、各種のバリエーションを考えてみたい。

- ▶ アングルポテンシャル
KG 鎖のアングルは、少しわかりにくい形になっている。
できるだけ他のパラメタを残しながら、アングルを固定してみたい。
- ▶ 排除体積効果
排除体積効果を残しながら、鎖のすり抜けができるようにしてみたい。

アングルポテンシャルの導入

非結合ポテンシャルを切って、 $U_{FENE-LJ}$ のみを働かせると、自由連結鎖としての振る舞いを示すことは、すでに確認している。

ここに、アングルポテンシャルを入れてみる。



ボンドポテンシャルの変更

ボンドポテンシャルとして、線形バネを用いることを考える。

二本のポリマー鎖が、任意のボンドが直交するように接近した場合を考える。

エネルギーバリアが最大となる場合は、ボンドが直角に重なった場合と考えられるので、この時のボンド長を l とすると、異なる鎖に

属するビーズ間の距離は、 $\frac{\sqrt{2}}{2}l$ となる。ボンド

は二本あり、非結合相互作用は四個あるので、一本の鎖当たりでは、

$$U_{cross} = U_{Harm}(r = l) + 2 \times U_{LJ}(r = \frac{\sqrt{2}}{2}l)$$

このとき、

$$U_{Harm} = \frac{K}{2}(r - r_0)^2$$

